

COLAPSO DE GEODÉSICAS EM SUPERFÍCIES COM PERFIS DE CURVATURA DADOS PROBABILISTICAMENTE

Palavras-chave: Geodésica, Superfície, Tempo de colapso

Autores:

Flávia Moura Siqueira [IMECC, Unicamp] Prof. Ricardo Antônio Mosna (orientador) [IMECC, Unicamp]

1 Introdução

Neste projeto foi estudado como se comportam feixes de geodésicas inicialmente paralelas em superfícies geradas aleatoriamente com curvatura. Para isso foram feitas simulações para a avaliar como os tempos de colapso variam mudando o ponto de início da geodésica.

2 Metodologia

Com auxílio do software Mathematica, foram geradas superfícies com curvatura probabilística usando a Equação 3, com base em [3]. Em cada superfície foram calculadas as geodésicas usando a Equação 1, mais detalhes em [2], que começavam no ponto $(x_0, -2)$, com x_0 variando entre -2 e 2 inicialmente paralelas.

Por motivos de custo computacional, para a simulação os pontos iniciais de geodésica foram -2, -1.5, -0.5, 0, 0.5, 1.5 e 2. Então, para cada ponto inicial foram geradas 300 superfícies e com a Equação 2, a Equação 2D de Raychaudhuri, foi calculado o tempo de colapso. Caso o tempo resultante fosse igual ao limite de integração da Equação, então não houve colapso.

$$\ddot{u}^k + \Gamma^k_{ij}\dot{u}^i\dot{u}^j = 0,\tag{1}$$

$$\frac{D^2 \xi^{\kappa}}{dt^2} + R^{\kappa}_{\alpha\beta\gamma} u^{\alpha} \xi^{\beta} u^{\gamma} = 0,$$

com ξ sendo o vetor de afastamento das geodésicas.

$$\frac{d\theta}{dt} + \theta^2 + \frac{R}{2} = 0, (2)$$

sendo que σ é o módulo do vetor ξ e $\theta = \frac{1}{\sigma} \frac{d\sigma}{dt}$.

$$f(x,y) = \sum_{m=-M}^{M} \sum_{n=-N}^{N} a(m,n)\cos(2\pi(mx+ny) + \phi(m,n)).$$
 (3)

Como não são todas as geodésicas que colapsam e a informação da ocorrência de colapso está disponível é possível usar técnicas de análise de sobrevivência considerando as que não colapsam

como dado censurado. Para a análise de sobrevivência foi usado o Estimador de Kaplan-Meier, mais detalhes podem ser vistos em [1], que é calculado como mostrado pela Equação 4.

$$\hat{S}(t) = \prod_{j:t_j < t} \left(\frac{n_j - d_j}{n_j} \right). \tag{4}$$

Ele estima a curva de sobrevivência dos dados, que é definida como a probabilidade de uma observação sobreviver ao tempo t, ou seja, $S(t) = P(T \ge t)$.

3 Resultados e discussão

Na Figura 1 podemos ver o resultado de uma das simulações feitas, em que as linhas azuis são as geodésicas.

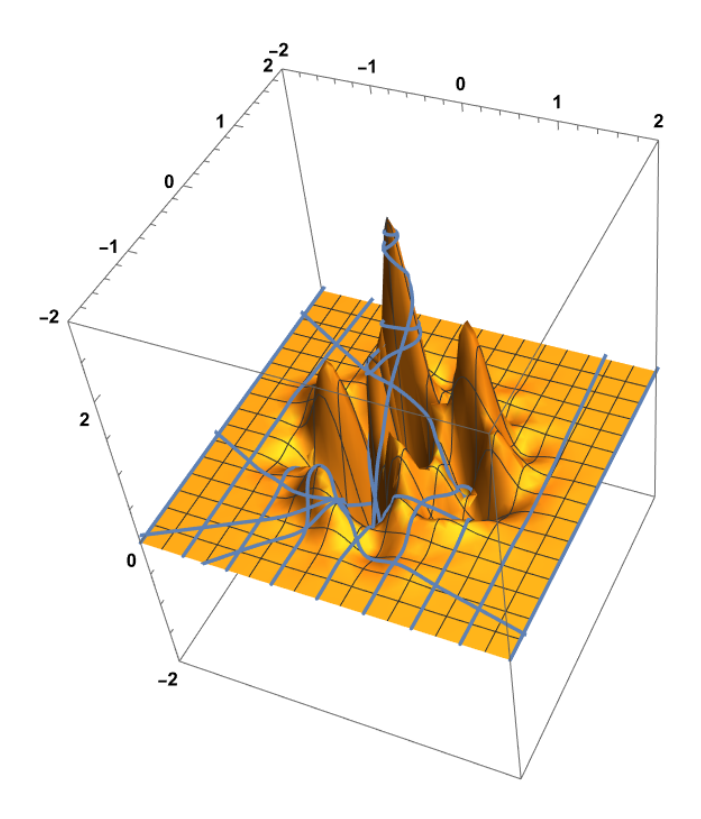


Figura 1: Geodésicas (linhas azuis) em superfície gerada aleatoriamente.

Na Figura 2 podemos ver a curva de sobrevivência S(t) estimada usando o método de Kaplan-Meier. Na esquerda podemos ver um comportamento dicotômico, com as geodésicas que começam mais próximas de 0 apresentando menor sobrevivência, e as mais distantes, maior sobrevivência, com aproximadamente 60% delas não entrando em colapso. Esse comportamento foi resumido no gráfico da direita, em que foram criados os grupos 0 e 1, com 0 sendo as geodésicas que começam entre -1.5 e 1.5 e 1 as fora desse intervalo.

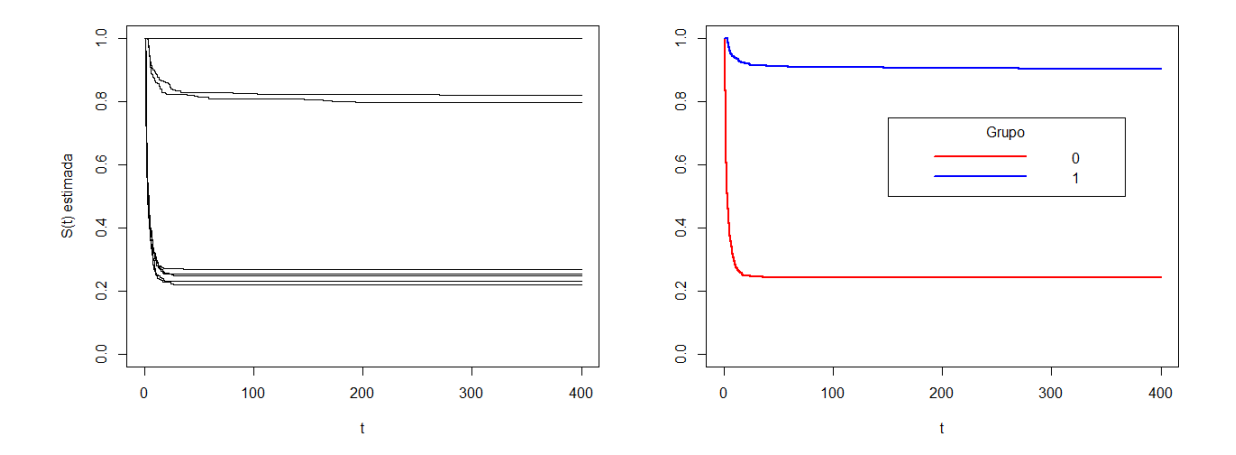


Figura 2: Esquerda: S(t) estimada usando Kaplan-Meier com uso x_0 . Direita: S(t) estimada usando Kaplan-Meier com os grupos criados.

A diferença entre os grupos também foi atestada estatisticamente com o teste de Mantel-Haenszel, resultando em p-valor inferior a $2\cdot 10^{-6}$. No teste de Mantel-Haenszel (ou teste Logrank), a hipótese nula é de que não há diferença entre as curvas, então a nível de significância de 5%, essa hipótese pode ser rejeitada. Com isso, podemos concluir que o ponto x_0 inicial do feixe de geodésicas têm influência significativa na ocorrência ou não de colapso.

Utilizando outra abordagem, e usando apenas os tempos de colapso das geodésicas que de fato colapsaram, foi encontrada uma distribuição que representa os dados de forma aceitável, vide Figura 3, a $Skew\ t$ Tipo 2. Para validar esse resultado foi usado o Teste de Kolmogorov-Smirnoff, que resultou em p-valor = 0.08. Neste teste, a hipótese nula é de que a amostra segue a dita distribuição, e a nível de significância de 5% essa hipótese não pôde ser rejeitada.

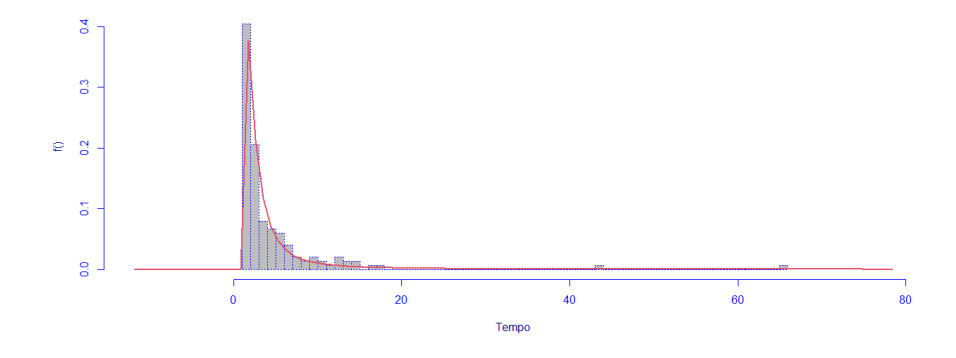


Figura 3: Em cinza o histograma dos tempos de colapso e em vermelho a distribuição ST2 com os parâmetros estimados.

Referências

- [1] Enrico Antônio Colosimo and Suely Ruiz Giolo. *Análise de Sobrevivência Aplicada*. Blucher, 2006.
- [2] Markus Deserno. Notes on Differential Geometry with special emphasis on surfaces in \mathbb{R}^3 . https://www.cmu.edu/biolphys/deserno/pdf/diff_geom.pdf.
- [3] Bjorn Sjodin. How to Generate Random Surfaces in COMSOL Multiphysics[®]. https://www.comsol.com/blogs/how-to-generate-random-surfaces-in-comsol-multiphysics/.